

**ΜΕΤΕΩΡΟΛΟΓΙΑ.**— Αἱ συγκεντρώσεις τῶν ἰόντων τῆς ἀτμοσφαίρας ὑπὸ θαλασσίαν αὔραν καὶ Ἐτησίων ἐν Ἀθήναις, ὑπὸ Ἰωάννου Δ. Ζαμπάκα, Δημητρίου Α. Ρετάλη καὶ Σιυλιανοῦ Χ. Γκίνη\*. Ἀνεκοινώθη ὑπὸ τοῦ Ἀκαδημαϊκοῦ κ. Ἡλία Γ. Μαριολοπούλου.

### 1. ΕΙΣΑΓΩΓΗ

Ἐν ἔτει 1965, μερίμνη τοῦ Διευθυντοῦ - Καθηγητοῦ Η. Γ. Μαριολοπούλου, ἐγκατεστάθη καὶ λειτουργεῖ ἔκτοτε κανονικῶς εἰδικὴ μονὰς ἀτμοσφαιρικοῦ ἡλεκτρισμοῦ εἰς τὸ Μετεωρολογικὸν Ἰνστιτοῦτο τοῦ Ἐθνικοῦ Ἀστεροσκοπίου Ἀθηνῶν ( $\varphi = 37^{\circ} 58'.3$  N,  $\lambda = 23^{\circ} 43'.0$  E καὶ  $h = 107$  m). Λεπτομέρειαι ὡς πρὸς τὰ δργανα καὶ τὰς μετρουμένας παραμέτρους παρέχονται εἰς τὰ δημοσιεύματα τοῦ Ἰδρύματος [12].

Ἐφ' ὅσον τὸ ἀτμοσφαιρικὸν ἡλεκτρικὸν πεδίον ἀποτελεῖ, οὕτως εἰπεῖν, συστατικὸν - πεδίον τοῦ περιβάλλοντος τοῦ ἀνθρώπου καὶ γενικῶς τῶν ἐμβίων ὄντων, κατεβλήθησαν προσπάθειαι διαπιστώσεως βιολογικῶν ἢ μὴ ἐπιδράσεων αὐτοῦ. Ἐξ αὐτῆς τῆς ἀπόψεως ἐνδιαφέρον ἔδειξαν κυρίως Ἱατροί καὶ Βιολόγοι, πέραν τῶν Κλιματολόγων. Μολονότι τὰ σχετικὰ θέματα μελετῶνται ἀκόμη, ἔχουν προκύψει ἐν τούτοις ὀρισμένα γενικὰ συμπεράσματα.

α. Τὰ ἀρνητικὰ γενικῶς ἰόντα θεωροῦνται, ἐν τινι μέτρῳ, εὐεργετικά, ἐν ἀντιθέσει πρὸς τὰ θετικά. Σχετικῶς μὲ τὴν ἔννοιαν τῆς «δόσεως» καὶ τῆς «εὐεργετικότητος» ἐπικρατεῖ τοιαύτη ἀσάφεια, οἷα ὑποκειμενικότης ἐπικρατεῖ καὶ ὡς πρὸς τὸ κλιματικὸν στοιχεῖον π. χ. τῆς θερμοκρασίας [14].

β. Αἱ διάφοροι παράμετροι τοῦ ἀτμοσφαιρικοῦ ἡλεκτρισμοῦ ἀποτελοῦν συνιστῶντα πεδία τοῦ βιολογικοῦ περιβάλλοντος τῶν ἐμβίων ὄντων, ὡς καὶ αἱ διάφοροι μετεωρολογικαὶ παράμετροι π. χ. πεδίον θερμοκρασίας, ὑγρασίας κλπ. Αἱ μέχρι τοῦδε γενόμεναι ἔρευναι δὲν ἐπεστήμανον ἀξιολογώθεας βιολογικὰς ἐπιδράσεις τῶν στοιχείων τοῦ ἀτμοσφαιρικοῦ ἡλεκτρισμοῦ ἐπὶ τοῦ ἀνθρώπου, ἐν συγκρίσει μὲ τὰ λοιπὰ μετεωρολογικὰ στοιχεῖα [9]. Αἱ συγκεντρώσεις τῶν διαφόρων ἰόντων τῆς ἀτμοσφαίρας εἶναι αἱ αὐταί, κατὰ κανόνα, τόσον εἰς τὸν ἀνοικτόν, ὃσον καὶ εἰς τὸν κλειστὸν χῶρον (atmospheric electric living - space climate).

\* J. D. ZAMBAKAS, D. A. RETALIS and S. CH. GUINIS, *The concentrations of atmospheric ions under the blowing of sea-breeze and Etesian winds over Athens*.

Είναι γνωστὸν ὅτι οἱ Ἐτησίαι (E) καὶ ἡ θαλασσία αὔρα (Θ. A.), ὡς χαρακτηριστικοὶ θερινοὶ ἄνεμοι τοῦ λεκανοπεδίου τῆς Ἀττικῆς, καθορίζουν κατὰ τὸν μεγαλύτερον βαθμὸν τὸ θερινὸν κλῖμα αὐτοῦ [3].

Ἡ Θ.Α. πνέει ἐκ τῆς θαλάσσης (ΝΝΔ) διὰ τοῦ ΝΔ ἀνοίγματος τοῦ λεκανοπεδίου κατὰ τὴν θεομήν, ὡς ἐπὶ τὸ πλεῖστον, ἐποχήν. Ὁ ἄνεμος οὗτος φράσσει τὸ λεκανοπέδιον ἐκ ΝΔ, ἐνῷ ταυτοχρόνως δὲν δύναται νὰ καθαρίσῃ τοῦτο ἐκ τῆς αἰωρουμένης αἰθαλομίχλης, ὡς ἀσθενῆς ἀνακυκλουμένη πρὸς τὰ ἄνω κυκλοφορία [1, 16].

Οἱ E., ἀντιθέτως, πνέουν ἐκ BBA διευθύνσεων καί, εἰσρέοντες εἰς τὸ λεκανοπέδιον σχεδὸν ἀκωλύτως διὰ τοῦ ἀνοίγματος μεταξὺ Πάρνηθος καὶ Πεντελικοῦ, καθαρίζουν τοῦτο ἐκ τῆς αἰωρουμένης αἰθαλομίχλης, λόγῳ τῆς ἵσχυρᾶς ἐντάσεως αὐτῶν [1, 6].

Λόγῳ τῶν ἀντιθέσεων τούτων, οἱ ἀνωτέρω θερινοὶ ἄνεμοι δὲν ἐπηρεάζουν μόνον τὰ κλασσικὰ κλιματικὰ στοιχεῖα [3], ἀλλὰ ἐπιδροῦν σημαντικότατα ἐπὶ τῆς θυπάνσεως [1], καὶ τῶν στοιχείων τοῦ ἀτμοσφαιρικοῦ ἡλεκτρισμοῦ [4, 13].

Σκοπὸς τῆς παρούσης μελέτης εἶναι ἡ ἔξαρκίθωσις τῆς ἐπιδράσεως τῶν ἀνέμων τούτων ἐπὶ τῆς μιօρφῆς τῆς ἡμερησίας πορείας τῶν συγκεντρώσεων τῶν ἰόντων τῆς ἀτμοσφαίρας, ὡς καὶ ἡ ἐπίδρασις τούτων ἐπὶ τῶν ἡμερησίων τιμῶν τῶν συγκεντρώσεων. Μεγαλυτέραν σημασίαν διὰ τὴν ἀγωγιμότητα τῆς ἀτμοσφαίρας καὶ τὰς βιοκλιματικὰς ἐπιδράσεις αὐτῆς παρουσιάζουν τὰ μικρὰ ἰόντα. Οἱ ἀνωτέρω ἄνεμοι εἶναι κυρίως θερινοὶ [6, 16], δι' ὃ καὶ ἡ ληφθεῖσα περίοδος εἶναι οἱ θερινοὶ μῆνες τῆς 5/ετίας 1968 - 1972. Ἐπελέγησαν ἡμέραι Ε. καὶ Θ. A., ὡς καὶ ἡμέραι καθ' ἃς οἱ δύο τοπικοὶ ἄνεμοι ἐνηλλάσσοντο.

## 2. ΑΙ ΣΥΓΚΕΝΤΡΩΣΕΙΣ ΤΩΝ ΜΙΚΡΩΝ ΙΟΝΤΩΝ ΤΗΣ ΑΤΜΟΣΦΑΙΡΑΣ ΥΠΟ ΕΤΗΣΙΑΣ

Αἱ τιμαὶ τῶν συγκεντρώσεων τῶν μικρῶν θετικῶν καὶ ἀρνητικῶν ἰόντων (ἰόντα/cm<sup>3</sup>) κατὰ τὰς ἡμέρας Ε. ἀνέμων, δίδονται εἰς τὸν πίνακα I. Βάσει τῶν τιμῶν τούτων, ἔχαραχθησαν τὰ διαγράμματα τῶν σχημάτων 1 καὶ 2, ἀτινα παριστοῦν τὴν ἡμερησίαν πορείαν τῶν ἐν λόγῳ ἰόντων δι' ἔκαστον θερινὸν μῆνα, ὡς καὶ δι' διλόκληρον τὴν θερινὴν περίοδον (Εη+, Εη-). Εἰς τὰ αὐτὰ σχήματα δίδονται, χάριν συγκρίσεως, καὶ αἱ ἀντίστοιχοι πορεῖαι τῶν αὐτῶν στοιχείων δι' ὅλας ἀνεξαιρέτως τὰς ἡμέρας τῶν μηνῶν τῆς αὐτῆς, ὡς ἄνω, περιόδου [5].

‘Η ήμερησία πορεία τῶν μικρῶν θετικῶν καὶ ἀρνητικῶν ιόντων εἶναι διμοίᾳ γενικῶς πρὸς τὴν προκύψασαν δι’ ὅλας τὰς ήμέρας τοῦ θέρους, ἀνεξαρτήτως καιρικῆς καταστάσεως [5], τὴν δποίαν θὰ ὀνομάζομεν ἐφ’ ἔξης «κανονικὴν» ( $n_+$ ,  $n_-$ ).

Τονίζονται ἐνταῦθα αἱ κάτωθι χαρακτηριστικαὶ διαφοραὶ τῆς ήμερησίας πορείας κατὰ τὰς ήμέρας E., ἔναντι τῆς κανονικῆς τοιαύτης.

1. Αἱ μέσαι ὥριαῖαι τιμαὶ τῶν συγκεντρώσεων τῶν μικρῶν ιόντων (θετικῶν καὶ ἀρνητικῶν) ὑπὸ τὴν πνοὴν E. ( $E_{n+}$  καὶ  $E_{n-}$ ), εἶναι γενικῶς μεγαλύτεραι τῶν ἀντιστοίχων κανονικῶν. Αἱ διαφοραὶ αὗται εἶναι μεγαλύτεραι κυρίως κατὰ τὰς πρωϊνὰς ὥρας.

2. Τὰ δύο μέγιστα (πρωϊνὸν καὶ ἀπογευματινόν) εἶναι περίπου ίσοδύναμα δι’ ἀμφοτέρας τὰς συγκεντρώσεις ( $E_{n+}$  καὶ  $E_{n-}$ ), ἐν ἀντιθέσει πρὸς τὰ ἀντίστοιχα τῆς κανονικῆς πορείας, καθ’ ἣν τὸ κύριον μέγιστον εἶναι τὸ ἀπογευματινόν. Τοῦτο διότι οἱ E. πνέουν ἐνίστε καὶ κατὰ τὴν διάρκειαν τῆς νυκτὸς καὶ συνεπῶς διασκορπίζουν ἀποτελεσματικῶς τοὺς πυρῆνας συμπυκνώσεως κατὰ τὰς ὥρας ταύτας. Ἀποτέλεσμα τούτου εἶναι ἡ μικροτέρα καταστροφὴ τῶν μικρῶν ιόντων λόγῳ «συγκολλήσεως» καὶ ἐπομένως αὔξησις τῶν συγκεντρώσεων τῶν μικρῶν ιόντων κατὰ τὰς ἐν λόγῳ ὥρας [5, 7, 10].

Πρὸς λεπτομερεστέραν διερεύνησιν τῆς ὧς ἄνω περιπτώσεως, ἐπελέγησαν δύο διμάδες ήμερῶν E. τῆς ὑπὲρ ὅψιν περιόδου.

‘Ομὰς I: ‘Ημέραι E. μὲ ταχύτητα  $V \leq 1.0 \text{ m.sec}^{-1}$ , ἀπὸ τῆς πρώτης ἔως τῆς ἕκτης πρωϊνῆς ὥρας (ήμέραι 10).

‘Ομὰς II: ‘Ημέραι E. μὲ ταχύτητα  $V \geq 3.0 \text{ m.sec}^{-1}$ , κατὰ τὰς αὐτάς, ὡς ἄνω, πρωϊνὰς ὥρας (ήμέραι πάλιν 10 κατὰ σύμπτωσιν).

Εἰς τὸν πίνακα II δίδονται αἱ μέσαι ὥριαῖαι τιμαὶ τῆς ταχύτητος τοῦ ἀνέμου ὡς καὶ ἀντίστοιχοι μέσαι τιμαὶ τῶν συγκεντρώσεων τῶν μικρῶν ιόντων (θετικῶν καὶ ἀρνητικῶν) κατὰ τὰς ήμέρας ταύτας. Βάσει τῶν τιμῶν τούτων, ἔχαράχθησαν τὰ ἀντίστοιχα διαγράμματα (σχῆμα 3), ἐκ τῶν δποίων προκύπτει ὅτι τὸ πρωϊνὸν μέγιστον θετικῶν καὶ ἀρνητικῶν ιόντων τῆς διμάδος ήμερῶν II εἶναι κατὰ πολὺ μεγαλύτερον τοῦ ἀντιστοίχου τῆς διμάδος I. Τοῦτο συνιστᾷ ἐπιβεβαίωσιν τῆς δοθείσης ἀνωτέρω ἐρμηνείας διὰ τὴν ίσοδυναμίαν τῶν δύο μεγίστων τῆς ήμερησίας πορείας τῶν συγκεντρώσεων τῶν μικρῶν ιόντων ὑπὸ E.

3. Αἱ μέσαι ὥριαῖαι τιμαὶ τῶν συγκεντρώσεων τῶν μικρῶν ἀρνητικῶν ιόντων εἶναι μικρότεραι τῶν ἀντιστοίχων θετικῶν εἰς ὅλας τὰς ἔξεταζομένας περιπτώσεις.

## Π Ι Ν Α Ξ Ι

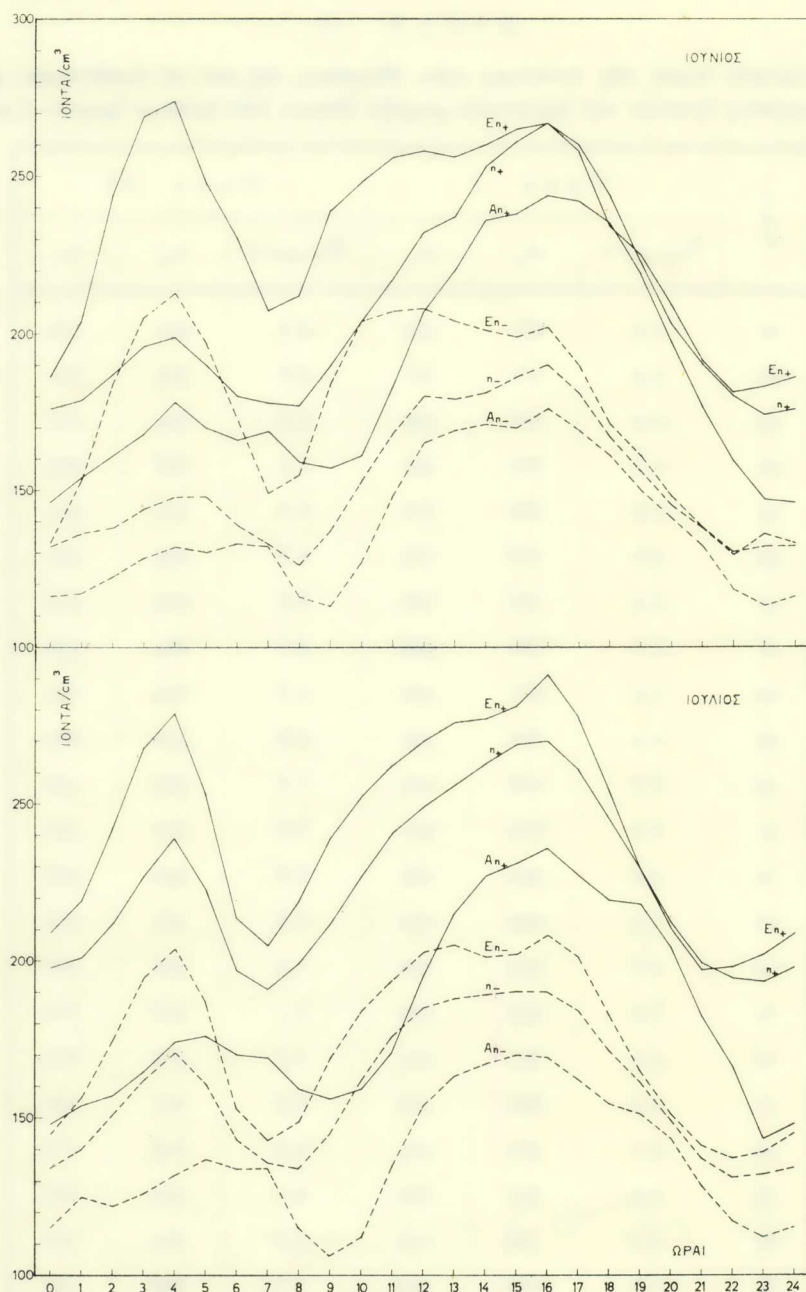
Μέσαι ώριαίαι τιμαὶ τῶν συγκεντρώσεων τῶν μικρῶν ίόντων τῆς ἀτμοσφαιρας  
ὑπὸ Ἐτησίας ( $n/cm^3$ ).

| Ώρα   | 'Ιούνιος |       | 'Ιούλιος |       | Αύγουστος |       | Θέρος |       |
|-------|----------|-------|----------|-------|-----------|-------|-------|-------|
|       | $n_+$    | $n_-$ | $n_+$    | $n_-$ | $n_+$     | $n_-$ | $n_+$ | $n_-$ |
| 00    | 186      | 133   | 209      | 145   | 221       | 152   | 210   | 146   |
| 01    | 204      | 153   | 219      | 157   | 231       | 167   | 222   | 161   |
| 02    | 244      | 184   | 242      | 175   | 252       | 183   | 247   | 180   |
| 03    | 269      | 205   | 268      | 195   | 269       | 196   | 269   | 197   |
| 04    | 274      | 213   | 279      | 204   | 283       | 205   | 280   | 206   |
| 05    | 248      | 197   | 254      | 187   | 252       | 184   | 252   | 187   |
| 06    | 230      | 173   | 214      | 153   | 212       | 157   | 215   | 157   |
| 07    | 207      | 149   | 205      | 143   | 200       | 143   | 203   | 143   |
| 08    | 212      | 155   | 219      | 149   | 213       | 149   | 215   | 150   |
| 09    | 239      | 184   | 239      | 169   | 235       | 173   | 237   | 172   |
| 10    | 248      | 204   | 252      | 184   | 243       | 184   | 248   | 187   |
| 11    | 256      | 207   | 262      | 194   | 255       | 200   | 258   | 199   |
| 12    | 258      | 208   | 270      | 203   | 260       | 207   | 264   | 205   |
| 13    | 256      | 204   | 276      | 205   | 267       | 204   | 269   | 204   |
| 14    | 260      | 201   | 277      | 201   | 266       | 202   | 270   | 201   |
| 15    | 265      | 199   | 281      | 202   | 270       | 201   | 274   | 201   |
| 16    | 267      | 202   | 291      | 208   | 277       | 202   | 281   | 204   |
| 17    | 258      | 190   | 278      | 201   | 268       | 191   | 271   | 195   |
| 18    | 234      | 171   | 254      | 182   | 247       | 179   | 249   | 179   |
| 19    | 225      | 161   | 229      | 165   | 229       | 166   | 229   | 165   |
| 20    | 209      | 148   | 210      | 151   | 209       | 149   | 209   | 149   |
| 21    | 191      | 138   | 197      | 141   | 201       | 141   | 198   | 140   |
| 22    | 181      | 129   | 198      | 137   | 198       | 137   | 195   | 136   |
| 23    | 183      | 136   | 202      | 139   | 203       | 143   | 200   | 140   |
| M. O. | 233.5    | 176.8 | 242.7    | 174.6 | 240.0     | 175.6 | 240.2 | 175.2 |

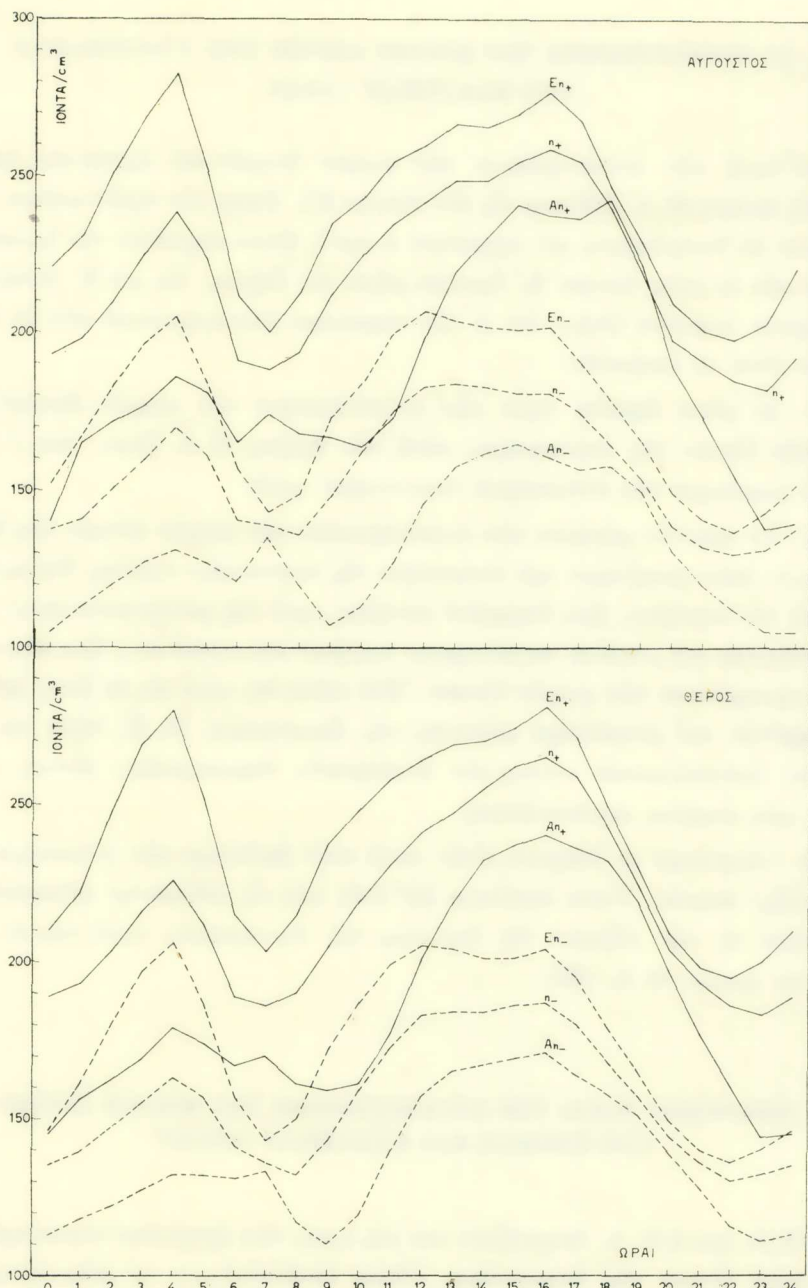
## Π Ι Ν Α Ξ II

Μέσαι ώριαίαι τιμαί τῆς ἐντάσεως τῶν Ἐτησίων, ὡς καὶ αἱ ἀντίστοιχοι μέσαι συγκεντρώσεις θετικῶν καὶ ἀρνητικῶν μικρῶν ίόντων τῶν δμάδων ἡμερῶν I καὶ II.

| z<br>G* | 'Ο μάς I               |                |                | 'Ο μάς II              |                |                |
|---------|------------------------|----------------|----------------|------------------------|----------------|----------------|
|         | $\bar{V}_{m.sec^{-1}}$ | n <sub>+</sub> | n <sub>-</sub> | $\bar{V}_{m.sec^{-1}}$ | n <sub>+</sub> | n <sub>-</sub> |
| 00      | 1.5                    | 220            | 155            | 2.8                    | 226            | 159            |
| 01      | 0.2                    | 177            | 127            | 3.9                    | 263            | 200            |
| 02      | 0.2                    | 184            | 140            | 3.9                    | 280            | 212            |
| 03      | 0.3                    | 209            | 156            | 4.0                    | 303            | 239            |
| 04      | 0.2                    | 235            | 172            | 4.4                    | 315            | 254            |
| 05      | 0.3                    | 230            | 175            | 4.5                    | 304            | 236            |
| 06      | 0.1                    | 199            | 148            | 4.3                    | 236            | 175            |
| 07      | 0.7                    | 195            | 140            | 4.4                    | 215            | 153            |
| 08      | 1.0                    | 205            | 138            | 5.0                    | 214            | 154            |
| 09      | 3.4                    | 224            | 158            | 6.8                    | 224            | 168            |
| 10      | 3.9                    | 249            | 179            | 7.5                    | 234            | 184            |
| 11      | 4.3                    | 263            | 191            | 7.8                    | 252            | 199            |
| 12      | 4.6                    | 269            | 198            | 7.3                    | 260            | 209            |
| 13      | 4.2                    | 260            | 194            | 7.8                    | 268            | 212            |
| 14      | 4.7                    | 262            | 195            | 7.5                    | 266            | 203            |
| 15      | 5.4                    | 258            | 190            | 7.1                    | 267            | 200            |
| 16      | 5.6                    | 261            | 191            | 7.1                    | 279            | 204            |
| 17      | 5.2                    | 251            | 185            | 6.5                    | 267            | 195            |
| 18      | 4.7                    | 231            | 174            | 6.3                    | 243            | 179            |
| 19      | 3.6                    | 211            | 158            | 5.1                    | 230            | 168            |
| 20      | 3.1                    | 192            | 145            | 3.2                    | 216            | 152            |
| 21      | 2.4                    | 178            | 132            | 2.7                    | 203            | 144            |
| 22      | 1.8                    | 182            | 130            | 2.7                    | 204            | 143            |
| 23      | 1.6                    | 186            | 135            | 2.2                    | 212            | 149            |



Σχ. 1. Ήμερήσιαι πορεῖαι τῶν μικρῶν θετικῶν καὶ ἀρνητικῶν ιόντων  $E_{n^+}$  (—) καὶ  $E_{n^-}$  (---) ἀντιστοίχως ὑπὸ Ε., αἱ πορεῖαι ( $n^+$ ,  $n^-$ ) τῶν αὐτῶν στοιχείων δι' ὅλας ἀνεξαιρέτως τὰς ἡμέρας τῶν μηνῶν 'Ιουνίου καὶ 'Ιουλίου, ὡς καὶ αἱ ἀντίστοιχοι πορεῖαι ( $A_{n^+}$ ,  $A_{n^-}$ ) τῶν αὐτῶν στοιχείων ὑπὸ Θ. Α.



Σχ. 2. 'Ημερήσιαι πορείαι τῶν μικρῶν θετικῶν καὶ ἀρνητικῶν ιόντων  $E_{n+}$  (—) καὶ  $E_{n-}$  (---) ἀντιστοίχως, ὑπὸ Ε., αἱ πορεῖαι ( $n_+$ ,  $n_-$ ) τῶν αὐτῶν στοιχείων δι' ὅλας ἀνεξαιρέτως τὰς ἡμέρας τοῦ μηνὸς Αὔγουστου καὶ τοῦ θέρους, ὡς καὶ αἱ ἀντίστοιχοι πορεῖαι ( $An_+$ ,  $An_-$ ) τῶν αὐτῶν στοιχείων ὑπὸ Θ. Α.

3. ΑΙ ΣΥΓΚΕΝΤΡΩΣΕΙΣ ΤΩΝ ΜΙΚΡΩΝ ΙΟΝΤΩΝ ΤΗΣ ΑΤΜΟΣΦΑΙΡΑΣ  
ΥΠΟ ΘΑΛΑΣΣΙΑΝ ΑΥΡΑΝ

Αἱ τιμαὶ τῶν συγκεντρώσεων τῶν μικρῶν θετικῶν καὶ ἀρνητικῶν Ἰόντων κατὰ τὰς ἡμέρας Θ. Α. δίδονται εἰς τὸν πίνακα III. Βάσει τῶν τιμῶν τούτων ἔχαρχθησαν τὰ διαγράμματα τῶν σχημάτων 1 καὶ 2, ἅτινα παριστοῦν τὴν ἡμερησίαν πορείαν τῶν ἐν λόγῳ Ἰόντων δι’ ἔκαστον μῆνα τοῦ θέρους, ὡς καὶ δι’ ὀλόκληρον τὴν θερινὴν περίοδον ( $\text{An}_+$ ,  $\text{An}_-$ ). Τὰ κυριώτερα χαρακτηριστικὰ τῶν ἐν λόγῳ πορειῶν εἶναι τὰ ἀκόλουθα:

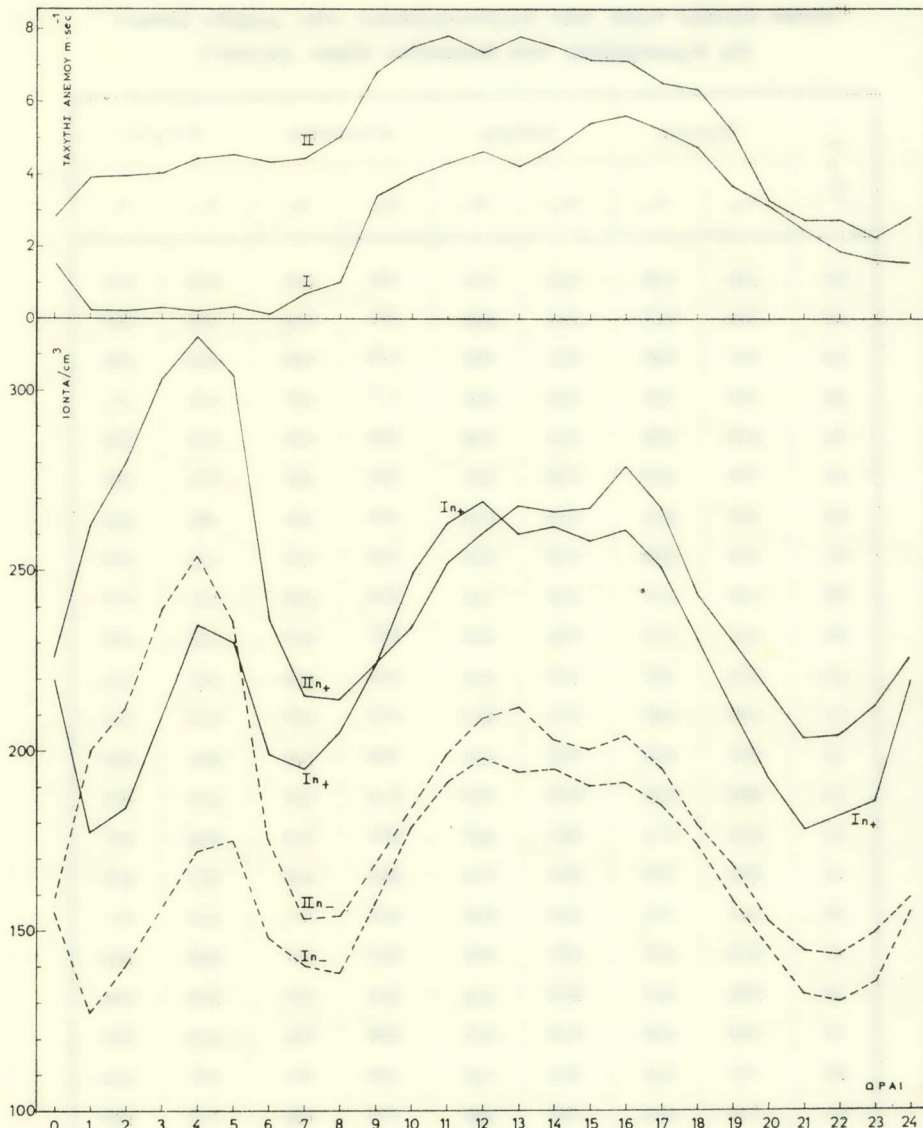
1. Αἱ μέσαι ὠραιαῖαι τιμαὶ τῶν συγκεντρώσεων τῶν μικρῶν θετικῶν καὶ ἀρνητικῶν Ἰόντων τῆς ἀτμοσφαίρας κατὰ τὰς ἡμέρας Θ. Α. ( $\text{An}_+$ ,  $\text{An}_-$ ) εἶναι γενικῶς μικρότεραι τῶν ἀντιστοίχων «κανονικῶν» τιμῶν.

2. Τὸ πρωΐνὸν μέγιστον τῶν συγκεντρώσεων τῶν μικρῶν Ἰόντων, ὑπὸ Θ.Α., εἶναι κατὰ πολὺ μικρότερον τοῦ ἀντιστοίχου τῆς «κανονικῆς» πορείας. Τοῦτο δφείλεται εἰς τὴν νηνεμίαν, ἥτις ἐπικρατεῖ συνήθως κατὰ τὰς μεταμεσονυκτίους ὥρας μὲ ἀποτέλεσμα τὴν μεγάλην συγκέντρωσιν πυρήνων συμπυκνώσεως, ἥτοι ἐλάττωσιν τῶν συγκεντρώσεων τῶν μικρῶν Ἰόντων. Ἐπὶ πλέον δέ, κατὰ τὰς ἐν λόγῳ ἡμέρας, παρατηρεῖται καὶ μεγαλυτέρα ρύπανσις τῆς ἀτμοσφαίρας [1, 2], λόγω καὶ τῶν συνήθως ἐμφανιζομένων νυκτερινῶν ἀναστροφῶν θερμοκρασίας, αἵτινες παγιδεύουν τοὺς πυρῆνας συμπυκνώσεως.

3. Ἀμφότερα τὰ ἐλάχιστα εἶναι κατὰ πολὺ βαθύτερα τῶν ἀντιστοίχων τῆς «κανονικῆς» πορείας. Τοῦτο δφείλεται ἀφ’ ἐνὸς μὲν εἰς ηὐξημένην ρύπανσιν καὶ ἀφ’ ἐτέρου εἰς τὴν αὔξησιν τῆς ὑγρασίας τῆς ἀτμοσφαίρας κατὰ τὰς ἐν λόγῳ ὥρας τῶν ἡμερῶν Θ. Α. [15].

4. ΗΜΕΡΗΣΙΑΙ ΤΙΜAI ΤΩΝ ΣΥΓΚΕΝΤΡΩΣΕΩΝ ΤΩΝ ΜΙΚΡΩΝ ΙΟΝΤΩΝ  
ΥΠΟ ΕΤΗΣΙΑΣ ΚΑΙ ΘΑΛΑΣΣΙΑΝ ΑΥΡΑΝ

Οἱ Ε. καὶ ἡ Θ. Α. ἐπηρεάζουν καὶ τὰς τιμὰς τῶν ἡμερησίων συγκεντρώσεων τῶν μικρῶν Ἰόντων τῆς ἀτμοσφαίρας. Οὗτως ὑπελογίσθησαν αἱ μέσαι ἡμερήσιαι τιμαὶ τῶν συγκεντρώσεων τῶν ὧς ἄνω Ἰόντων κατὰ τὰς ἡμέρας Θ. Α. καὶ Ε., αἵτινες καὶ δίδονται εἰς τὸν πίνακα IV.



Σχ. 3. Ήμερήσιαι πορείαι τῶν συγκεντρώσεων τῶν μικρῶν ἀρνητικῶν ίόντων ( $In^-$ ,  $IIIn^-$ ), αἱ ἀντίστοιχοι τῶν θετικῶν τοιούτων ( $In^+$ ,  $IIIn^+$ ), ὡς καὶ αἱ ήμερήσιαι πορείαι τῶν ἐντάσεων τῶν E. ἀνέμων τῶν δμάδων I καὶ II.

## Π Ι Ν Α Ξ III

Μέσαι ώριαται τιμαι τῶν συγκεντρώσεων τῶν μικρῶν ίόντων τῆς άτμοσφαιρας ὑπὸ θαλασσίαν αὔραν (n/cm<sup>3</sup>).

| σ<br>ο<br>ρ<br>δ<br>ι | 'Ιούνιος       |                | 'Ιούλιος       |                | Αύγουστος      |                | Θέρος          |                |
|-----------------------|----------------|----------------|----------------|----------------|----------------|----------------|----------------|----------------|
|                       | n <sub>+</sub> | n <sub>-</sub> |
| 00                    | 146            | 116            | 148            | 115            | 140            | 105            | 145            | 113            |
| 01                    | 154            | 117            | 154            | 125            | 165            | 113            | 156            | 118            |
| 02                    | 161            | 122            | 157            | 122            | 172            | 120            | 162            | 122            |
| 03                    | 168            | 128            | 165            | 126            | 177            | 127            | 169            | 127            |
| 04                    | 178            | 132            | 174            | 132            | 186            | 131            | 179            | 132            |
| 05                    | 170            | 130            | 176            | 137            | 181            | 127            | 174            | 132            |
| 06                    | 166            | 133            | 170            | 134            | 165            | 121            | 167            | 131            |
| 07                    | 169            | 132            | 169            | 134            | 174            | 135            | 170            | 133            |
| 08                    | 159            | 116            | 159            | 116            | 168            | 120            | 161            | 117            |
| 09                    | 157            | 113            | 156            | 106            | 167            | 107            | 159            | 110            |
| 10                    | 161            | 127            | 159            | 112            | 164            | 113            | 161            | 119            |
| 11                    | 183            | 148            | 171            | 135            | 173            | 127            | 177            | 139            |
| 12                    | 207            | 165            | 195            | 154            | 198            | 146            | 201            | 157            |
| 13                    | 220            | 169            | 215            | 163            | 220            | 158            | 219            | 165            |
| 14                    | 236            | 171            | 227            | 167            | 231            | 162            | 232            | 167            |
| 15                    | 238            | 170            | 231            | 170            | 241            | 165            | 237            | 169            |
| 16                    | 244            | 176            | 236            | 169            | 238            | 161            | 240            | 171            |
| 17                    | 242            | 169            | 227            | 162            | 237            | 157            | 236            | 164            |
| 18                    | 235            | 161            | 219            | 154            | 243            | 158            | 232            | 158            |
| 19                    | 219            | 150            | 218            | 151            | 222            | 150            | 219            | 151            |
| 20                    | 197            | 141            | 204            | 143            | 189            | 131            | 197            | 139            |
| 21                    | 176            | 132            | 182            | 128            | 173            | 120            | 177            | 128            |
| 22                    | 159            | 118            | 166            | 117            | 154            | 112            | 160            | 116            |
| 23                    | 147            | 113            | 143            | 112            | 138            | 105            | 144            | 111            |
| M. O.                 | 187.2          | 139.5          | 184.2          | 136.8          | 188.2          | 132.1          | 186.4          | 137.0          |

## Π Ι Ν Α Ε IV

Μέσαι ήμερήσιαι τιμαὶ τῶν συγκεντρώσεων τῶν μικρῶν ίόντων  
τῆς ἀτμοσφαίρας ( $n/cm^3$ ).

|                          | 'Ιούνιος |       | 'Ιούλιος |       | Αὔγουστος |       | Θέρος |       |
|--------------------------|----------|-------|----------|-------|-----------|-------|-------|-------|
|                          | $n_+$    | $n_-$ | $n_+$    | $n_-$ | $n_+$     | $n_-$ | $n_+$ | $n_-$ |
| 'Υπὸ 'Ετησίαν            | 234      | 177   | 243      | 175   | 240       | 176   | 240   | 175   |
| Κανονικαὶ τιμαὶ          | 208      | 153   | 225      | 159   | 219       | 157   | 217   | 156   |
| 'Υπὸ αὐραν               | 187      | 140   | 184      | 137   | 188       | 132   | 186   | 137   |
| Αὔξησις (%) ὑπὸ 'Ετησίας | 12.5     | 15.7  | 8.0      | 10.1  | 9.6       | 12.1  | 10.6  | 12.2  |
| 'Ελάττωσις (%) ὑπὸ αὐραν | 10.1     | 8.5   | 18.2     | 13.8  | 14.2      | 15.9  | 14.3  | 12.2  |

'Εξ αὐτῶν προκύπτουν τὰ ἀκόλουθα :

Αἱ μέσαι ήμερήσιαι τιμαὶ τῶν συγκεντρώσεων τῶν ἐν λόγῳ ίόντων ὑπὸ Ε. εἰναι μεγαλύτεραι τῶν ἀντιστοίχων «κανονικῶν» τιμῶν. Τὸ ποσοστὸν αὐξήσεως τούτων κυμαίνεται ἀπὸ 8.0% ἔως 12.5% διὰ τὰ θετικὰ καὶ ἀπὸ 10.1% ἔως 15.7% διὰ τὰ ἀρνητικὰ ίόντα, ἥτοι ἡ ἐπὶ τοῖς ἑκατὸν αὔξησις τῶν ἀρνητικῶν μικρῶν ίόντων εἰναι μεγαλυτέρᾳ τῆς ἀντιστοίχου τῶν θετικῶν.

Αἱ ήμερήσιαι τιμαὶ τῶν συγκεντρώσεων τῶν μικρῶν ίόντων ὑπὸ Θ. Α. εἰναι μικρότεραι τῶν ἀντιστοίχων «κανονικῶν» τιμῶν. Τὸ ποσοστὸν ἐλαττώσεως τούτων κυμαίνεται ἀπὸ 10.1% ἔως 18.2% διὰ τὰ θετικὰ καὶ ἀπὸ 8.5% ἔως 15.9% διὰ τὰ ἀρνητικὰ ίόντα, ἥτοι διαπιστοῦται ὅτι ἡ ἐπὶ τοῖς ἑκατὸν ἐλάττωσις τῶν ἀρνητικῶν εἰναι μικροτέρᾳ τῆς ἀντιστοίχου τῶν θετικῶν ίόντων.

Τὰ μικρὰ ἀρνητικὰ ίόντα παρουσιάζουν σχετικήν τινα ἀνεξαρτησίαν ἐκ τῆς ἐντάσεως τοῦ πνέοντος ἀνέμου, λόγῳ τοῦ μικροτέρου ὅγκου αὐτῶν καὶ συνεπῶς τῆς μεγαλυτέρας εὐκινησίας (20%) ἔναντι τῶν μικρῶν θετικῶν [8, 10]. Συνεπὴς πρὸς τοῦτο εἰναι καὶ ἡ διαπιστωθεῖσα συμπεριφορὰ αὐτῶν ὑπὸ Ε. καὶ Θ. Α.

Αἱ μεγαλύτεραι τιμαὶ τῶν συγκεντρώσεων τῶν μικρῶν ίόντων ὑπὸ Ε. διφείλονται, ἀφ' ἐνὸς μὲν εἰς τὴν μικρὰν ωύπανσιν [1] καὶ ἀφ' ἐτέρου εἰς τὸν μεγαλύτερον ίονισμὸν τοῦ ἀριός υπεράνω τῆς ξηρᾶς [17]. Ἀντιθέτως, ὑπὸ Θ. Α., λόγῳ τῆς μεγαλυτέρας ἀτμοσφαιρικῆς ρυπάνσεως καὶ τοῦ μικροτέρου ίονισμοῦ τῶν θαλα-

σίας προελεύσεως ἀερίων μαζῶν [11], αἱ ἐνλόγῳ συγκεντρώσεις εἰναι μικρότεραι τῶν «κανονικῶν» τοιούτων.

Ἐπιπροσθέτως ἡ θαλασσία αὔρα μεταφέρει καὶ χημικὰ ὑγροσκοπικὰ σωματίδια, ὡς τὰ μόρια NaCl, χλωρίδια, σουλφίδια, βρωμίδια, κτλ., ἅτινα σχηματίζουν τοὺς δομικοὺς λίθους διὰ τὴν δημιουργίαν πυρήνων συμπυκνώσεως [15] καὶ συνεπῶς ἔπερχεται ἐλάττωσις τῶν συγκεντρώσεων τῶν μικρῶν ιόντων τῆς ἀτμοσφαίρας, τόσον τῶν θετικῶν, ὅσον καὶ τῶν ἀρνητικῶν.

### 5. ΣΥΓΚΕΝΤΡΩΣΕΙΣ ΤΩΝ ΜΕΓΑΛΩΝ ΙΟΝΤΩΝ ΤΗΣ ΑΤΜΟΣΦΑΙΡΑΣ

Ἡ μελέτη ἡ ἀφορῶσα εἰς τὰς συγκεντρώσεις τῶν μεγάλων ιόντων δὲν θεωρεῖται σκόπιμον νὰ γίνῃ κατὰ διεξοδικὸν τρόπον, δεδομένου ὅτι ἡ οἰαδίποτε πορεία γενικῶς αὐτῶν εἶναι ἀντίθετος τῆς τοιαύτης τῶν μικρῶν. Τοῦτο εἶναι φυσικόν, ἐφ' ὅσον τὰ μεγάλα ιόντα προκύπτουν διὰ συγκολλήσεως τῶν μικρῶν ἐπὶ τῶν πυρήνων [4], διότι ὅσον περισσότεροι πυρῆνες συμπυκνώσεως ὑπάρχουν εἰς τὸν ἀέρα, τόσον μεγαλυτέρα εἶναι ἡ πιθανότης μετατροπῆς τῶν μικρῶν ιόντων εἰς μεγάλα.

Διὰ τὴν 4/ετίαν 1969 - 1972, μετροῦνται καὶ τὰ μεγάλα ιόντα [11] καὶ ἐπανελήφθη δι' αὐτὰ ἡ αὐτὴ ἀκοιβῶς ἐργασία.

Οὕτω, κατὰ τὸ θέρος τῆς ὑπὸ ὅψιν περιόδου, ἐσημειώθησαν αἱ παρεχόμεναι εἰς τὸν πίνακα V συγκεντρώσεις μεγάλων ιόντων ὑπὸ Ε. καὶ Θ. Α. Εἰς τὸν αὐτὸν πίνακα παρέχονται καὶ αἱ μέσαι ὁριαῖαι τιμαὶ τῶν συγκεντρώσεων κατὰ τὰς ἡμέρας τῶν διμάδων I καὶ II, ὡς εἰς τὸ κεφάλαιον 2. Βάσει τοῦ πίνακος τούτου ἔχαράχθησαν τὰ διαγράμματα τοῦ σχῆματος 4. Τὰ κυριώτερα χαρακτηριστικὰ εἶναι τὰ ἀκόλουθα :

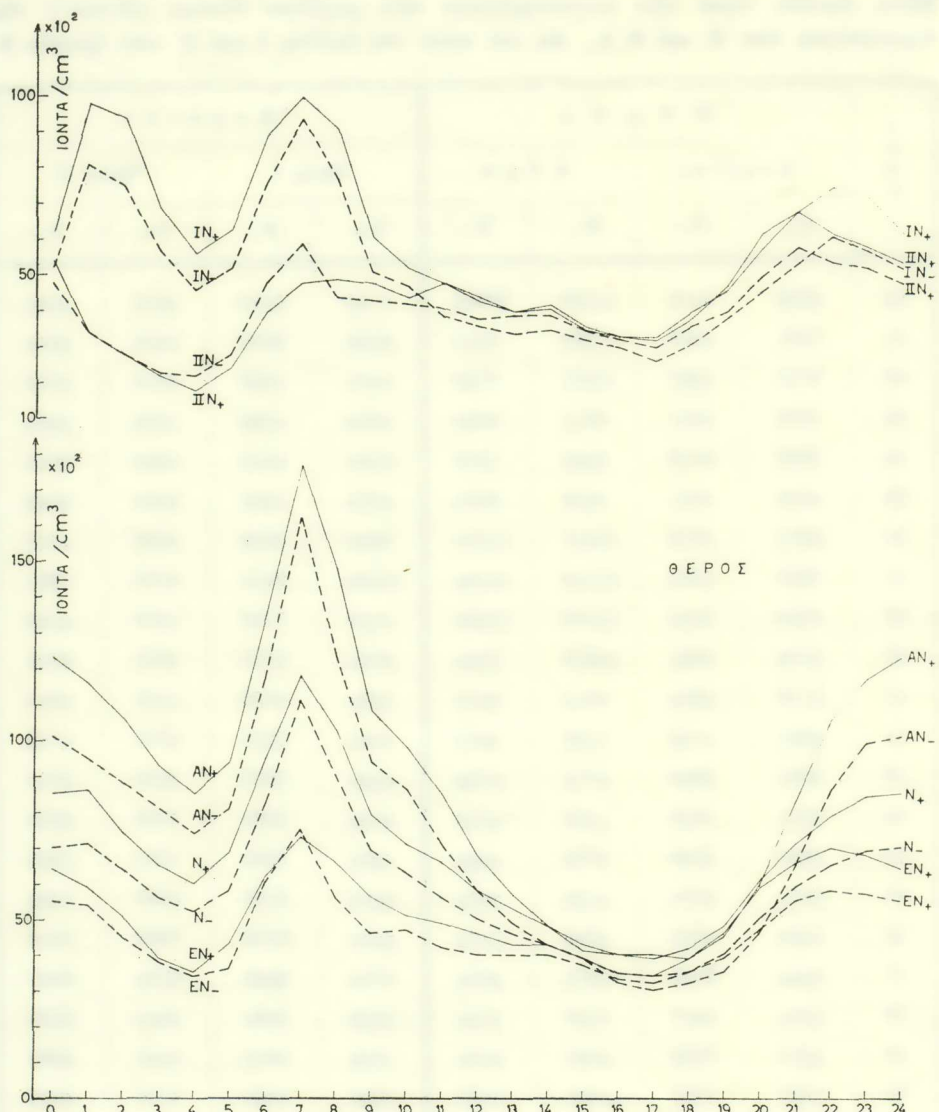
1. Αἱ συγκεντρώσεις τῶν μεγάλων ιόντων ὑπὸ Ε. εἶναι σαφῶς μικρότεραι τῶν ἀντιστοίχων ὑπὸ Θ. Α., πλὴν τῶν ὀρῶν ἀπὸ 12.00 ἕως καὶ 20.00. Αἰτία προφανῶς εἶναι ἡ ἔντασις τοῦ ἀνέμου, ὡς προελέχθη καὶ ἐπιβεβαιοῦται ὑπὸ τῶν συγκεντρώσεων τῆς διμάδος I, αἵτινες εἶναι μεγαλύτεραι ἢ αἱ ἀντίστοιχοι τῆς διμάδος II. Αἱ πορεῖαι τῆς ἔντασεως τοῦ ἀνέμου τῶν διμάδων I καὶ II ἐδόθησαν εἰς τὸ σχῆμα 3. Παρατηροῦμεν ὅτι ἡ ἔντασις τοῦ ἀνέμου δὲν μεταβάλλει αἰσθητῶς τὴν πορείαν τῆς πορείας τῶν ιόντων, ἀλλ' ἀπλῶς ἐπηρεάζει τὸ μέσον ἐπίπεδον τῶν συγκεντρώσεων.

2. Τὰ μεγάλα ιόντα ἀκολουθοῦν πορείαν ἀντίθετον ἐκείνης τῶν μικρῶν, ὡς ἔξαγεται διὰ συγκρίσεως τῶν ἀντιστοίχων πινάκων καὶ σχημάτων. Τοῦτο προφανῶς ἀνεμένετο, ἐξ' ὅσων ἐλέχθησαν εἰς τὴν ἀρχὴν τοῦ κεφαλαίου τούτου.

## Π Ι Ν Α Ε V

Μέσαι ώριαίαι τιμαὶ τῶν συγκεντρώσεων τῶν μεγάλων ίόντων ( $N/cm^3$ ) τῆς ατμοσφαίρας ὑπὸ Ε. καὶ Θ.Α., ως καὶ κατὰ τὰς δύμαδας I καὶ II τῶν ήμερῶν Ε.

| Σ<br>ε<br>σ<br>ι<br>α<br>σ | Θέρος   |      |       |       | Ετησίας |      |         |      |
|----------------------------|---------|------|-------|-------|---------|------|---------|------|
|                            | Ετησίας |      | Αύγα  |       | Όμας I  |      | Όμας II |      |
|                            | N+      | N-   | N+    | N-    | N+      | N-   | N+      | N-   |
| 00                         | 6396    | 5496 | 12259 | 10065 | 640     | 5240 | 5360    | 4840 |
| 01                         | 5881    | 5388 | 11588 | 9511  | 9840    | 8080 | 3400    | 3440 |
| 02                         | 5047    | 4467 | 10567 | 8747  | 9400    | 7520 | 2760    | 2760 |
| 03                         | 3906    | 3831 | 9341  | 8064  | 6920    | 5720 | 2200    | 2280 |
| 04                         | 3498    | 3402 | 8465  | 7373  | 5560    | 4600 | 1840    | 2200 |
| 05                         | 4286    | 4061 | 9403  | 8070  | 6280    | 5200 | 2360    | 2840 |
| 06                         | 6212    | 5976 | 13411 | 11686 | 8920    | 7640 | 4000    | 4760 |
| 07                         | 7247    | 7524 | 17735 | 16184 | 10040   | 9440 | 4760    | 5880 |
| 08                         | 6644    | 5620 | 14822 | 12305 | 9120    | 7720 | 4880    | 4440 |
| 09                         | 5584    | 4591 | 10803 | 9384  | 6080    | 5120 | 4800    | 4280 |
| 10                         | 5118    | 4654 | 9844  | 8610  | 5200    | 4650 | 4400    | 4240 |
| 11                         | 4941    | 4159 | 8537  | 7072  | 4800    | 3880 | 4800    | 4120 |
| 12                         | 4584    | 3966 | 6774  | 5754  | 4440    | 3600 | 4280    | 3840 |
| 13                         | 4311    | 3948 | 5656  | 4913  | 4000    | 3420 | 4000    | 3920 |
| 14                         | 4296    | 4028 | 4770  | 4046  | 4200    | 3520 | 4080    | 3920 |
| 15                         | 3873    | 3679 | 4128  | 3884  | 3560    | 3160 | 3520    | 3480 |
| 16                         | 3463    | 3265 | 3969  | 3174  | 3320    | 2960 | 3280    | 3200 |
| 17                         | 3444    | 3165 | 3979  | 2984  | 3200    | 2640 | 3320    | 3000 |
| 18                         | 3916    | 3451 | 3927  | 3155  | 3800    | 3080 | 3960    | 3560 |
| 19                         | 4594    | 3860 | 4507  | 3470  | 4680    | 3800 | 4640    | 4000 |
| 20                         | 5935    | 4707 | 5957  | 4592  | 6200    | 4640 | 5760    | 4960 |
| 21                         | 6600    | 5476 | 8265  | 6476  | 6760    | 5320 | 6760    | 5760 |
| 22                         | 6973    | 5810 | 10573 | 8627  | 7480    | 6080 | 6240    | 5440 |
| 23                         | 6808    | 5713 | 11743 | 9876  | 7200    | 5680 | 5800    | 5200 |
| M. O.                      | 5148    | 4594 | 8677  | 7418  | 6100    | 5084 | 4217    | 4015 |



Σχ. 4. Μέσαι ήμερήσιαι πορείαι τῶν μεγάλων θετικῶν ( $N_+$ ) καὶ ἀρνητικῶν ( $N_-$ ) Ιόντων, ὑπὸ Ἐτησίας (E) καὶ αὔραν (A) ἀντιστοίχως, ώς καὶ δι' ὅλας ἀνεξαιρέτως τὰς ἡμέρας τοῦ θέρους. Αἱ ἀντίστοιχοι πορεῖαι τῶν συγκεντρώσεων τῶν αὐτῶν Ιόντων κατὰ τὰς ἡμέρας τῶν ὥμαδων I καὶ II Ἐτησίων.

3. Άι ήμερήσαι τιμαὶ τῶν συγκεντρώσεων τῶν μεγάλων ίόντων τῆς ἀτμοσφαίρας ὑπὸ Ε. εἶναι μικρότεραι ἢ ὑπὸ Θ. Α. (πίναξ V). Ο σχετικὸς ὑπολογισμὸς δίδει ἐλάττωσιν ὑπὸ Ε. τῶν μεγάλων θετικῶν ίόντων κατὰ 24.3% καὶ τῶν ἀρνητικῶν κατὰ 21.2%, ἐκ τῶν κανονικῶν τιμῶν. Υπὸ Θ. Α. παρατηρεῖται αὔξησις τῶν θετικῶν κατὰ 27.5% καὶ τῶν ἀρνητικῶν κατὰ 27.2%, ἐκ τῶν ἀντιστοίχων κανονικῶν τιμῶν.

Ἐν γενικὸν χαρακτηριστικὸν εἶναι ὅτι δι' ὁρισμένας ὡρας τῆς ήμέρας, 12.00 ἔως 20.00 διὰ τὰ μεγάλα καὶ 18.00 ἔως 21.00 διὰ τὰ μικρά, αἱ συγκεντρώσεις τῶν ίόντων δὲν διαφορίζονται ποσῶς ἀναλόγως τοῦ ἀνέμου, ὡς διὰ τὰς λοιπὰς ὡρας. Δὲν δυνάμεθα, πρὸς τὸ παρόν, νὰ ἀποφανθῶμεν μετὰ βεβαιότητος περὶ τοῦ βαθμοῦ, καθ' ὃν ἔκαστος τῶν ἀκολούθων παραγόντων ἐπηρεάζει τὸ ὑπὸ ὅψιν φαινόμενον: Ἡ βαθμὸς δυναμικοῦ τοῦ ἡλεκτρικοῦ πεδίου [4], τὸ φαινόμενον ἡλεκτροδίου, ἡ στροβιλώδης διάχυσις καὶ ἡ ωπανσις τῆς ἀτμοσφαίρας [1].

#### 6. ΜΕΤΑΒΟΛΑΙ ΤΩΝ ΣΥΓΚΕΝΤΡΩΣΕΩΝ ΤΩΝ ΙΟΝΤΩΝ ΚΑΤΑ ΤΑΣ ΕΝΑΛΛΑΓΑΣ Ε. ΚΑΙ Θ. Α.

Κατὰ τὴν ὑπὸ ὅψιν περίοδον (1969 - 1972) εὑρέθησαν καὶ 69 ήμέραι, καθ' ἃς οἱ δύο θερινοὶ ἀνεμοὶ ἐνηλλάσσοντο. Ἐξ αὐτῶν μόνον 15 περιπτώσεις εὑρέθησαν μὲ χρονικὸν διάστημα πλήρους καὶ σαφοῦς ἐναλλαγῆς  $\leqslant 30$  min. Εἰς τὰς 15 ταύτας ήμέρας συνέβησαν ὅλοι οἱ ἀναμενόμενοι δυνατοὶ συνδυασμοί, ταξινομηθέντες ὡς ἀκολούθως:

α. ΑΕ ἢ ΕΑ, 7 περιπτώσεις. Κατὰ τὰς ήμέρας ταύτας ἡ αὔρα (A) καὶ οἱ Ἐτησίαι (E) ἐνηλλάχθη ὑπὸ Ε. ἢ A., ἀντιστοίχως.

β. ΕΑΕ ἢ ΑΕΑ, 7 περιπτώσεις. Κατὰ τὰς ήμέρας ταύτας καὶ περὶ τὰς μεσημβρινὰς ὡρας ἔπνευσε A. ἢ E., ἐνῷ πρὸ καὶ μετὰ ἔπνεον E. ἢ A., ἀντιστοίχως.

γ. ΕΑΕΑ, 1 περίπτωσις. Κατὰ τὴν ήμέραν ταύτην (08.00 ἔως 20.00 ὡραν) ἔπνευσαν κατὰ σειρὰν Ἐτησίαι - αὔρα - Ἐτησίαι - αὔρα.

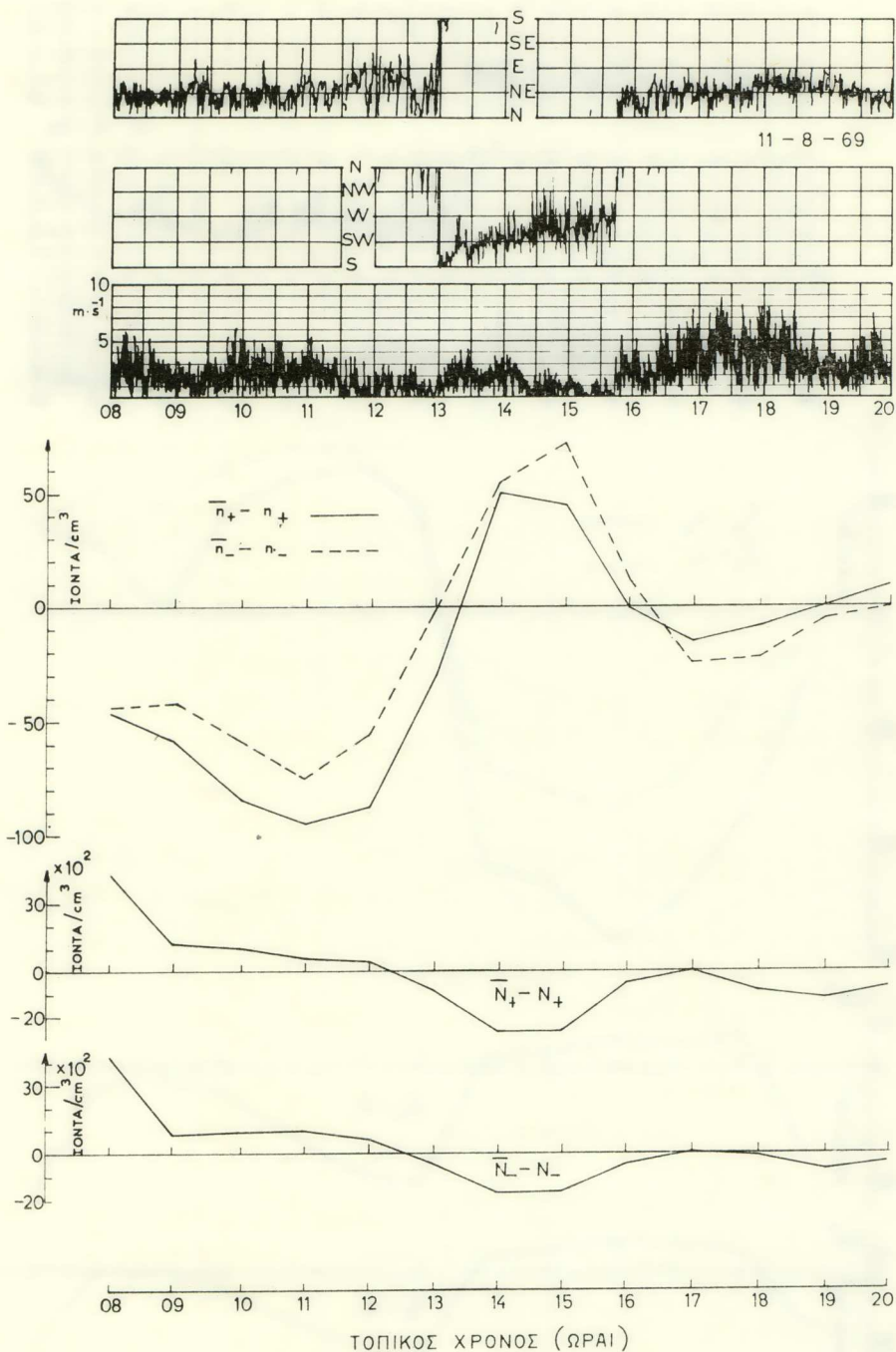
Ἡ Θ. Α. πνέει κατὰ τὴν διάρκειαν τῆς ήμέρας μόνον, ἐνῷ οἱ Ε. πνέουν ἐνίοτε, ὡς ἀσθενεῖς, καὶ κατὰ τὴν νύκτα. Εἰς ὅλας τὰς περιπτώσεις αἱ ἐναλλαγαί, αἵτινες ἐνδιαφέρουν ἐνταῦθα, ἐσημειώθησαν εἰς τὸ διάστημα μεταξὺ 08.00 καὶ 20.00 ὡρας τοπικοῦ χρόνου.

Διὰ τρεῖς ἀντιπροσωπευτικὰς ήμέρας τῶν ἀνωτέρω κατηγοριῶν δίδονται εἰς τὸν πίνακα VI αἱ ἀποχαὶ τῶν στοιχείων  $n_+$ ,  $n_-$ ,  $N_+$  καὶ  $N_-$  ἐκ τῶν μέσων τιμῶν ἀντιστοίχων τῶν αὐτῶν στοιχείων. Βάσει τῶν τιμῶν τοῦ πίνακος VI κατεσκευάσθησαν τὰ σχήματα 5, 6 καὶ 7 τῶν ήμερῶν 11 - 8 - 1969, 22 - 8 - 1969 καὶ 26 - 7 - 1970, ἀντιστοίχως. Εἰς ἔκαστον τῶν σχημάτων παρατίθεται καὶ τὸ ἀντιστοιχὸν ἀνεμογράφημα.

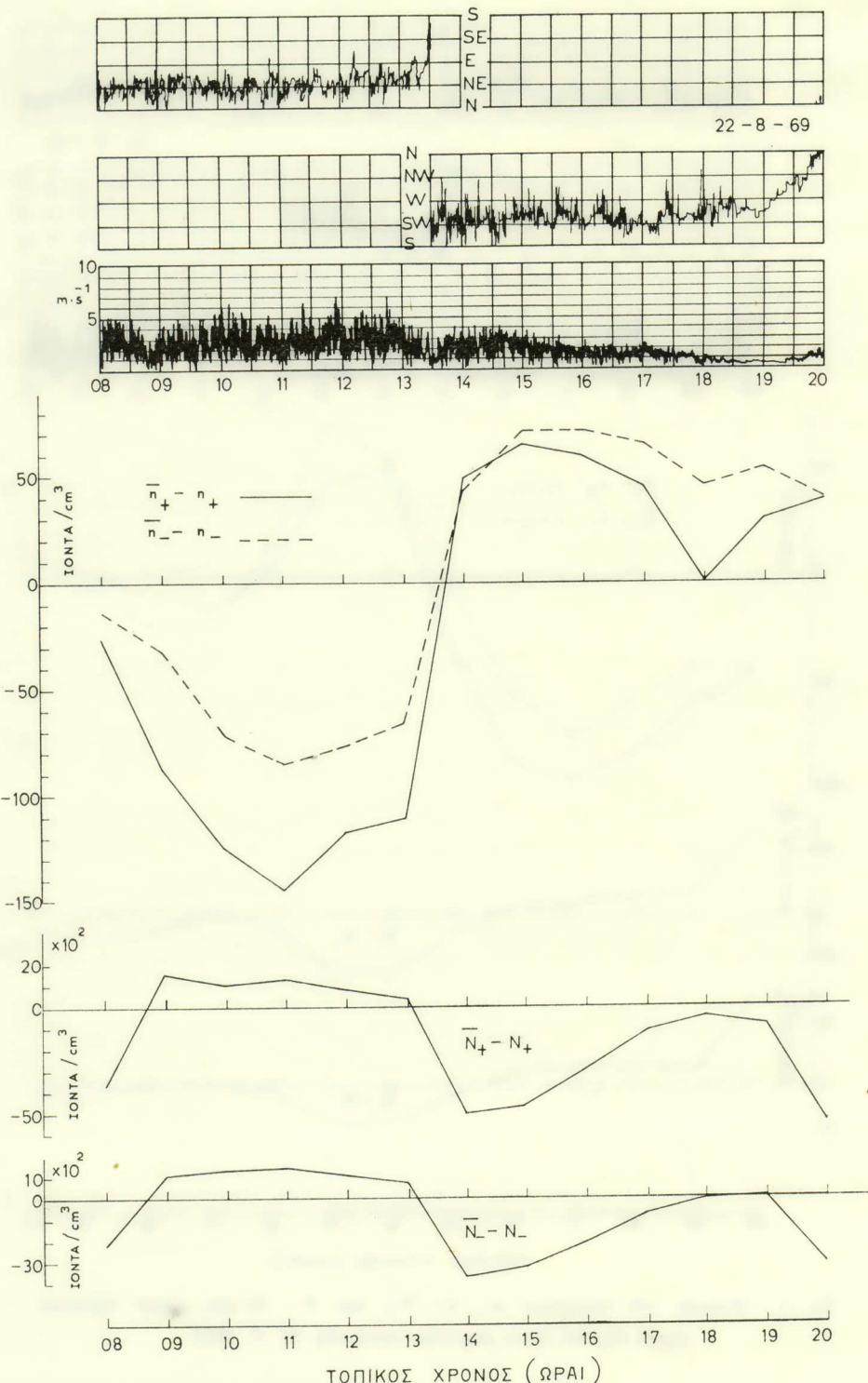
## Π Ι Ν Α Ξ VI

'Αποχατ τῶν στοιχείων  $n_+$ ,  $n_-$ ,  $N_+$  και  $N_-$  ἐκ τῶν μέσων ωρισμών της ίδιας θέσης περιέβασ.

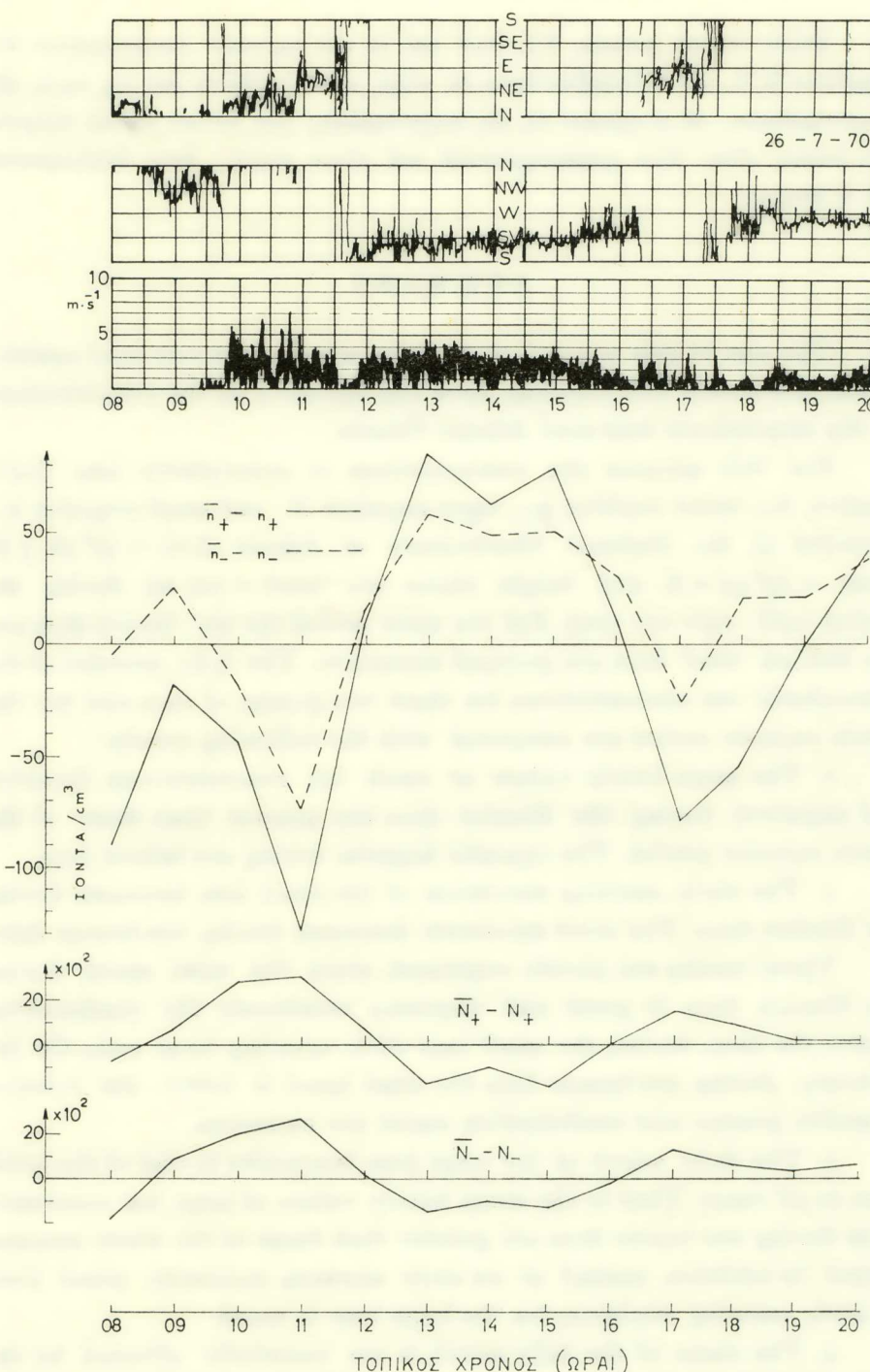
| Ημέραι. | 11 - 8 - 1969     |                   |                   |                   | 22 - 8 - 1969     |                   |                   |                   | 26 - 7 - 1970     |                   |                   |                   |
|---------|-------------------|-------------------|-------------------|-------------------|-------------------|-------------------|-------------------|-------------------|-------------------|-------------------|-------------------|-------------------|
|         | $\bar{n}_+ - n_+$ | $\bar{n}_- - n_-$ |
| 08      | -46               | -44               | +4300             | +4200             | -26               | -14               | -3700             | -2200             | -91               | -6                | -800              | -1800             |
| 09      | -58               | -42               | +1200             | +700              | -88               | -32               | +1600             | +1100             | -18               | +25               | +700              | +900              |
| 10      | -85               | -58               | +1000             | +900              | -125              | -72               | +1000             | +1300             | -43               | -18               | +2800             | +2000             |
| 11      | -95               | -75               | +500              | +1000             | -145              | -85               | +1300             | +1400             | -129              | -74               | +3000             | +2700             |
| 12      | -88               | -57               | +400              | +600              | -118              | -77               | +800              | +1000             | +9                | +15               | +700              | +100              |
| 13      | -31               | -6                | -900              | -500              | -111              | -66               | +300              | +700              | +86               | +58               | -1800             | -1400             |
| 14      | +49               | +53               | -2700             | -1800             | +49               | +43               | -5100             | -3800             | +63               | +49               | -1000             | -1000             |
| 15      | +45               | +71               | -2700             | -1700             | +65               | +71               | -4700             | -3300             | +79               | +50               | +1900             | -1300             |
| 16      | -1                | +11               | -600              | -500              | +59               | +71               | -3000             | -2100             | +10               | +30               | 0                 | -200              |
| 17      | -15               | -25               | 0                 | 0                 | +45               | +65               | -1200             | -800              | -79               | -26               | +1500             | +1300             |
| 18      | -10               | -25               | -900              | -100              | 0                 | +45               | -500              | -100              | -55               | +21               | +900              | +600              |
| 19      | 0                 | -6                | -1300             | -800              | +30               | +54               | -900              | 0                 | -1                | +21               | +100              | +300              |
| 20      | +8                | -1                | -700              | -400              | +38               | +39               | -5500             | -3200             | +42               | +39               | +200              | +600              |



Σχ. 5. 'Αποχαί τῶν στοιχείων  $n_+$ ,  $n_-$ ,  $N_+$  και  $N_-$  ἐκ τῶν μέσων ώριαίων τιμῶν τῆς ὑπ' ὅψιν περιόδου κατὰ τὴν 11 - 8 - 1969.



Σχ. 6. 'Αποχαι τῶν στοιχείων  $n_+$ ,  $n_-$ ,  $N_+$  καὶ  $N_-$  ἐκ τῶν μέσων ώριαίων τιμῶν τῆς ὑπ' ὄψιν περιόδου κατὰ τὴν 22 - 8 - 1969.



Σχ. 7. 'Αποχαι τῶν στοιχείων  $n_+$ ,  $n_-$ ,  $N_+$  καὶ  $N_-$  ἐκ τῶν μέσων ώριαίων τιμῶν τῆς ὑπ' ὄψιν περιόδου κατὰ τὴν 26 - 7 - 1970.

Τόσον ἐκ τοῦ πίνακος VI, ὅσον καὶ ἐκ τῶν σχετικῶν διαγραμμάτων τῶν σχημάτων 5, 6, καὶ 7 ἐπιβεβαιοῦνται τὰ μέχρι τοῦδε λεχθέντα διὰ τὰς τιμὰς τῶν συγκεντρώσεων. Αἱ μεταβολαὶ εἰς τὰς συγκεντρώσεις τῶν ιόντων μὲ τὴν ἀλλαγὴν τοῦ ἀνέμου εἶναι λίαν χαρακτηριστικαὶ καὶ τόσον ταχεῖς, ὅσον ἐναλλάσσεται καὶ ὁ ἄνεμος.

## S U M M A R Y

The aim of this paper is to examine whether the two local summer winds, sea-breeze and Etesians, have any influence on the concentrations of the atmospheric ions over Athens, Greece.

For this purpose the concentrations of atmospheric ions (large positive  $N_+$ , small positive  $n_+$ , large negative  $N_-$  and small negative  $n_-$ ) recorded at the National Observatory of Athens (Lat. =  $37^{\circ}58'.3$  N, Long. =  $23^{\circ}43'.0$  E and height above sea-level = 107 m) during the period 1968 - 1972 are used. For the same period the sea-breeze days and the Etesian wind days are grouped separately. The daily marches of the atmospheric ion concentrations for these two groups of days and for the whole summer period are compared with the following results :

1. The mean hourly values of small ion concentrations (positive and negative) during the Etesian days are greater than those of the whole summer period. The opposite happens during sea-breeze days.

2. The early morning maximum of the small ions increases during the Etesian days. The same maximum decreases during sea-breeze days.

These results are plainly explained, since the wind speed during the Etesian days is great and disperses effectively the condensation nuclei. On these nuclei, the small ions stick, creating large ones. On the contrary, during sea-breeze days the wind speed is lower, the relative humidity greater and condensation nuclei are numerous.

3. The daily march of the large ions is opposite to that of the small ones in all cases. That is the mean hourly values of large ion concentrations during sea-breeze days are greater than those of the whole summer period. In addition, instead of an early morning maximum (small ions) an early morning minimum for the large ions is noted.

4. The shape of the daily march is not essentially affected by the direction of the wind. The more striking feature is that during the hours

12.00 to 20.00 local time the concentrations are nearly the same for all three groups concerning the large ions. The same phenomenon is marked for the small ions during the hours 18.00 to 21.00 local time.

### ΒΙΒΛΙΟΓΡΑΦΙΑ

1. Σ. Χ. Γκίνης και Ι. Δ. Ζαμπάκας, 'Επίδρασις 'Ετησίων και θαλασσίας αύρας επί της ρυπάνσεως ἐν 'Αθήναις. Δημοσιεύματα 'Εργαστηρίου Κλιματολογίας τοῦ Πανεπιστημίου 'Αθηνῶν, ἀριθ. 5, 1973.
2. Ι. Δ. Ζαμπάκας, Μετεωρολογικαὶ συνθῆκαι ἐλαχίστης καὶ μεγίστης ρυπάνσεως τῆς ἀτμοσφαίρας ὑπεράνω τῶν 'Αθηνῶν. Δημοσιεύματα 'Εργαστηρίου Κλιματολογίας τοῦ Πανεπιστημίου 'Αθηνῶν, ἀριθ. 3, 1973.
3. Η. Γ. Μαριόλοντος, Τὸ κλῆμα τῆς 'Ελλάδος, 'Αθῆναι 1938.
4. Δ. Α. Ρετάλης, Μελέτη τῆς βαθμίδος δυναμικοῦ τοῦ ἡλεκτρικοῦ πεδίου τῆς ἀτμοσφαίρας ἐν 'Αθήναις. Διατριβὴ ἐπὶ διδακτορίᾳ, 'Αθῆναι 1974.
5. Δ. Α. Ρετάλης και Λ. Ν. Καραπιπέρης, 'Ἐπὶ τῆς ἡμερησίας καὶ ἔτησίας πορείας τῆς συγκεντρώσεως τῶν μικρῶν ἴοντων τῆς ἀτμοσφαίρας ἐν 'Αθήναις. Πρακτ. Σεμιν. Φυσικῆς τῆς 'Ατμοσφαίρας, 'Αθῆναι 17 - 20/9/1973.
6. L. N. Carapiperis, The Etesian winds (I, II, III, IV and VI). 'Υπομνήματα 'Αστεροσκοπείου 'Αθηνῶν 1962 - 1968.
7. O. H. Gish, Compendium of Meteorology (Universal Aspects of Atmospheric Electricity A. M. S. Boston 1956.
8. H. Istrael, Atmosphärische Elektrizität Teil. I. Leipzig, 1957.
9. —— In cooperation with H. Dolezalek, Atmospheric Electricity, Vol. II, pp. 556 - 562, 1973.
10. E. Kiliński, Lehrbuch der Luftelektrizität, Leipzig 1958.
11. R. Muhrleisen, Die luftelektrischen Verhältnisse im Küstenaerosol II, Arch. Meteor. Geophys. Biokl. (A). Vol. 12 (1959), 435 - 446.
12. National Observatory of Athens, Meteorological Institute, Bulletins of atmospheric electricity, Vol. 4 to 8, Athens.
13. D. Retalis and L. Carapiperis, Contribution to the study of the influence of the air pollution on the potential gradient of the electric field of atmosphere. 'Υπομνήματα τοῦ 'Εθνικοῦ 'Αστεροσκοπείου 'Αθηνῶν, Σειρὰ II, ἀριθ. 26, 1972.
14. S. W. Tromp, Medical Biometeorology, pp. 351 - 372, London, 1963.
15. H. L. Wright, The Association between relative humidity and the ratio of the number of large ions to the total number of nuclei. Terr. Magn. Atmos. Elect. 39 (1984), 277 - 280.
16. J. D. Zambakas, The diurnal variation and duration of the sea-breeze

at the National Observatory of Athens, Greece. Met. Mag. Vol. 102, 224 - 228.

17. P. R. Z e i l i n g e r, Ueber die Nachlieferung von Radiumemanation aus dem Erdbodem. Terr. Mag. Atm. Elect., Vol. 40 (1935), 281 - 294.

\*

‘Ο Ακαδημαικὸς κ. **Χλίας Γ. Μαριολόπουλος**, παρουσιάζων τὴν ἀνωτέρῳ ἀνακοίνωσιν, εἶπε τὰ ἔξῆς :

Αἱ διάφοροι παράμετροι τοῦ ἀτμοσφαιρικοῦ ἡλεκτρισμοῦ ἀποτελοῦν συνιστῶντα πεδία τοῦ βιολογικοῦ περιβάλλοντος τῶν ἐμβίων ὅντων, ὡς καὶ αἱ διάφοροι μετεωρολογικαὶ παράμετροι π.χ. πεδίον θερμοκρασίας, ὑγρασίας κ.λ.π. Αἱ μέχρι τοῦδε γενόμεναι ἔρευναι δὲν ἐπεσήμανον ἀξιολογωτέρας βιολογικὰς ἐπιδράσεις τῶν στοιχείων τοῦ ἀτμοσφαιρικοῦ ἡλεκτρισμοῦ ἐπὶ τοῦ ἀνθρώπου, ἐν συγκρίσει μὲ τὰ λοιπὰ μετεωρολογικὰ στοιχεῖα. Αἱ συγκεντρώσεις τῶν διαφόρων ἰόντων τῆς ἀτμοσφαίρας εἶναι αἱ αὐταί, κατὰ κανόνα, τόσον εἰς τὸν ἀνοικτόν, ὅσον καὶ εἰς τὸν κλειστὸν χῶρον (atmospheric electric living - space climate).

Σκοπὸς τῆς μελέτης ταύτης, εἶναι ἡ ἐξακρίβωσις τῆς ἐπιδράσεως τῆς θαλασσίας αὔρας καὶ τῶν Ἐτησίων, ἐπὶ τῆς μορφῆς τῆς ἡμερησίας πορείας τῶν συγκεντρώσεων τῶν ἰόντων τῆς ἀτμοσφαίρας, ὡς καὶ ἡ ἐπίδρασις τῶν χαρακτηριστικῶν τούτων θερινῶν ἀνέμων ἐπὶ τῶν ἡμερησίων τιμῶν αὐτῶν. Βάσει τῶν δεδομένων τῶν δργάνων μετρήσεων τοῦ ἀτμοσφαιρικοῦ ἡλεκτρισμοῦ, ὡς καὶ τῶν μετεωρολογικῶν τοιούτων τοῦ Μετεωρολογικοῦ Ἰνστιτούτου τοῦ Ε.Α.Α. τῆς περιόδου 1968 - 1972, οἱ συγγραφεῖς κατέληξαν εἰς τὰ ἀκόλουθα συμπεράσματα :

‘Η θαλασσία αὔρα ἐπιφέρει ἐλάττωσιν τῶν συγκεντρώσεων τῶν μικρῶν ἰόντων καὶ αὔξησιν τῶν συγκεντρώσεων τῶν μεγάλων ἰόντων, τόσον τῶν θετικῶν, ὅσον καὶ τῶν ἀρνητικῶν, πλὴν τῶν ὁρῶν ἀπὸ 12.00 ἥως 20.00 διὰ τὰ μεγάλα ἰόντα.

Οἱ Ἐτησίαι, ἀντιθέτως, ἐπιφέρουν αὔξησιν τῶν συγκεντρώσεων τῶν μικρῶν καὶ ἐλάττωσιν τῶν συγκεντρώσεων τῶν μεγάλων ἰόντων, τόσον τῶν θετικῶν, ὅσον καὶ τῶν ἀρνητικῶν, πλὴν τῶν ὁρῶν ἀπὸ 12.00 ἥως 20.00 διὰ τὰ μεγάλα ἰόντα.

‘Η ὡς ἄνω συμπεριφορὰ τῶν ἐν λόγῳ θερινῶν ἀνέμων, ἀπεδόθη εἰς τὰς Μετεωρολογικὰς αὐτῶν διαφοράς, εἰς τὴν διαφορὰν προελεύσεως τῶν ἀερίων μαζῶν καὶ εἰς τὴν μεγαλυτέραν ρύπανσιν, ἵτις παρατηρεῖται ὑπὸ θαλασσίαν αὔραν.

Τὰ μικρὰ ἰόντα καὶ δὴ τὰ ἀρνητικὰ τοιαῦτα λόγῳ τῆς μεγαλυτέρας αὐτῶν εὐκινησίας ἔναντι τῶν θετικῶν παρουσιάζουν, τόσον ὑπὸ αὔραν, ὅσον καὶ ὑπὸ Ἐτησίας, σχετικὴν ἀνεξαρτησίαν ἐκ τῆς ἐντάσεως τοῦ ἀνέμου.

‘Η ἔντασις τοῦ ἀνέμου δὲν μεταβάλλει αἰσθητῶς τὴν μορφὴν τῆς πορείας τῶν ιόντων, ἀλλ’ ἀπλῶς ἐπηρεάζει τὸ μέσον ἐπίπεδον τῶν συγκεντρώσεων.

‘Η ἡμερησία πορεία τῶν μικρῶν ιόντων εἶναι διπλῆ, ὡς καὶ ἡ τοιαύτη τῶν μεγάλων. Αἱ συγκεντρώσεις τῶν μικρῶν καὶ μεγάλων ιόντων συσχετίζονται μεταξύ των ἀρνητικῶς, διότι τὰ μεγάλα ιόντα προκύπτουν ἐκ τῶν μικρῶν διὰ συγκολλήσεως.

Αἱ σημειωθεῖσαι μεταβολαὶ τῶν συγκεντρώσεων τῶν ιόντων κατὰ τὰς ἐναλλαγὰς τῶν ὑπ’ ὅψιν ἀνέμων ἐπιβεβαιοῦν τὰ μέχρι τοῦδε λεχθέντα, εἶναι λίαν χαρακτηριστικαὶ καὶ λαμβάνονταν τὰς ἀντιστοίχους αὐτῶν τιμὰς τόσον ταχέως, ὅσον ἐναλλάσσεται καὶ ὁ ἄνεμος.